

УДК 595.422

## ОПИСАНИЕ САМЦА И ПЕРЕОПИСАНИЕ САМКИ *ANTHOSEIUS VICTOROVII* (PARASITIFORMES, PHYTOSEIIDAE)

Л. А. Колодочка, И. Д. Омери

Институт зоологии им. И. И. Шмальгаузена НАН Украины,  
ул. Б. Хмельницкого, 15, Киев, 01601 Украина  
E-mail: leon@izan.kiev.ua

Принято 15 марта 2008

**Описание самца и переписание самки *Anthoseius victorovi* (Parasitiformes, Phytoseiidae).** Колодочка Л. А., Омери И. Д. — Приведены иллюстрированное описание самца и переписание самки клещей вида *Anthoseius (Mumaseius) victorovi* Wainstein семейства Phytoseiidae (Parasitiformes) с морфометрией, диагнозом и данными о распространении.

Ключевые слова: клещи-фитосейиды, *Anthoseius (Mumaseius) victorovi*, Украина.

**Description of Male and Redescription of Female of *Anthoseius victorovi* (Parasitiformes, Phytoseiidae).** Kolodochka L. A., Omeri I. D. — The illustrated description of new male with redescription of female of phytoseiid mites *Anthoseius (Mumaseius) victorovi* Wainstein as well as measurements, diagnosis and habitat data are given.

Key words: phytoseiid mites, *Anthoseius (Mumaseius) victorovi*, Ukraine.

Нормальное, без экстремальных всплесков численности отдельных видов или их групп, функционирование растительных ассоциаций во многом зависит от эффективности регулирования плотности популяций растительноядных членистоногих их естественными врагами. Функцию регулирования численности клещей-фитофагов на растениях успешно выполняют хищные клещи, среди которых наибольшее значение имеют клещи семейства Phytoseiidae, составляющие заметную часть акарокомплексов растительных ассоциаций экологической сети Украины.

Ранее подрод *Amblydromellus*, виды которого широко распространены на различных растениях Украины, рассматривали в составе рода *Anthoseius* sensu Wainstein (Вайнштейн, 1972). В результате ревизии (Колодочка, 1998) этот подрод был восстановлен в ранге самостоятельного рода *Amblydromella* Muma, 1961. Это таксономическое действие привело к тому, что в фауне Украины de facto не оказалось видов, которые можно было бы отнести к роду *Anthoseius* в современном понимании.

При обработке коллекционных материалов растениеобитающих хищных клещей-фитосейид из Лесостепи Украины сборов 1992 г. был обнаружен вид *Anthoseius victorovi* Wainstein, 1975, являющийся пока единственным представителем этого рода в фауне Украины (Колодочка, 2006). Позже особи этого вида были обнаружены в Полесье Украины (не опубликованные результаты обработки сборов 2003 г.), а в материалах сборов 2005 г. обнаружены ранее не известные самцы *A. victorovi*.

Иллюстрированное описание и морфометрия мерных признаков самца (препарат № 640 из сборов И. Д. Омери) приведены ниже. Переисследован голотип *A. victorovi* (самка в препарате № 5314 в коллекции Б. А. Вайнштейна, хранящийся в отделе акарологии ИЗШК), выполнены дополнительные рисунки и измерения.

Для исследования индивидуальной изменчивости клещей использованы удобные для выполнения измерений 13 ♀ и 2 ♂ *A. victorovi* из сборов И. Д. Омери в Краснокутском дендропарке (г. Краснокутск, Харьковская обл.), собранные 07.08.05 на ели европейской, а также 13 ♀ и 3 ♂ из сборов Л. А. Колодочки там же на ели от 09.06.92.

При описаниях клещей использована предложенная ранее номенклатура щетинок (Колодочка, 1998). Результаты измерений статистически обработаны с помощью компьютерной системы анализа данных «Statistica», версия 6 (StatSoft, Inc., США). Среднее значение мерных признаков (M, Mean) и стандартная ошибка среднего (m, SE) приведены в описаниях клещей. Размеры указаны в микрометрах.

*Anthoseius (Mumaseius) victorovi* Wainstein, 1975*victorovi* Wainstein, Вайнштейн, 1975: 915 (*Anthoseius (Amblydromellus)*)

Самка. Дорсальный щит удлиненный (рис. 1, 1), с небольшими боковыми выемками, каудально слегка расширен, умеренно склеротизован, весь покрыт отчетливой сетчатой скульптуркой, несет 18 пар гладких коротких щетинок 3 пары заметных соленостомов (*iv*, *il*, *ic*). Щетинки AS и PS на мембране вне

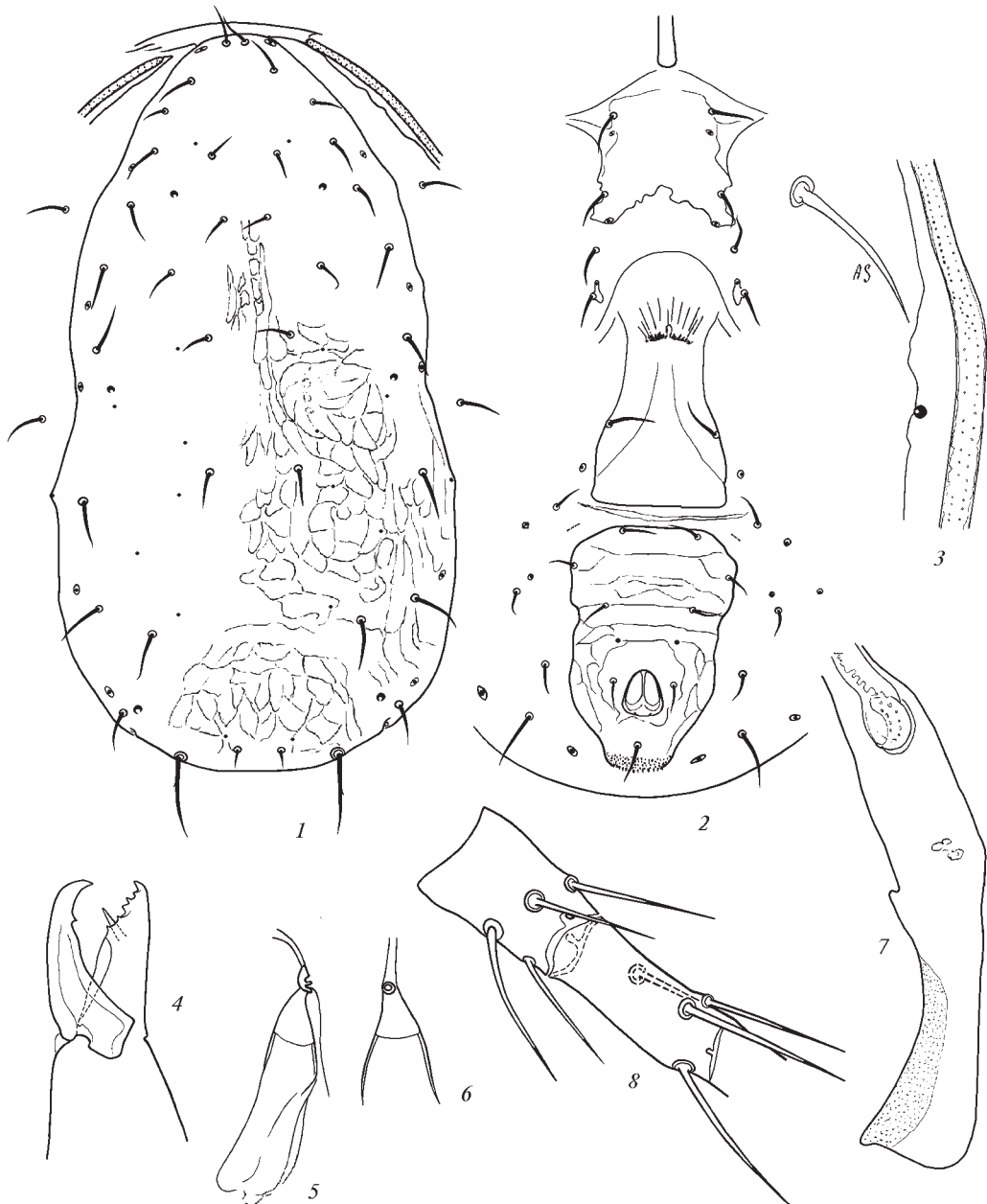


Рис. 1. *Anthoseius (Mumaseius) victorovi*, ♀: 1 — дорсальный щит; 2 — вентральная сторона тела; 3 — средняя часть перитремального щита с порой; 4 — хелицера; 5, 6 — сперматека; 7 — задняя часть перитремального щита; 8 — фрагмент лапки IV ноги.

Fig. 1. *Anthoseius (Mumaseius) victorovi*, ♀: 1 — dorsal shield; 2 — ventral body side; 3 — middle of the peritremal shield with a pore; 4 — chelicera; 5, 6 — spermatheca; 7 — posterior part of peritremal shield; 8 — fragment of tarsus IV leg.

щита. Щетинки дорсума короткие, их длина несколько увеличивается по направлению к заднему концу тела, гладкие, лишь PM3 с 1—2 небольшими зазубринами. Перитремы с хетоидами, заходят за уровень тек щетинок AM1. На краю перитремального щита ниже уровня щетинки AS размещена отчетливая круглая пора (рис. 1, 3). Вентроанальный щит шире задней части генитального щита, удлинненно-пятиугольный с небольшими боковыми выемками, поперечно исчерчен, 3 пары преанальных щетинок: PrA1, PrA2, V2 (рис. 1, 2). Анальные поры отчетливые, круглые, не сближенные. Гнатосома обычных пропорций. Хелицеры умеренных размеров, удлинненные; на Df имеется 5 зубцов, на Dm — 1 (рис. 1, 4). Сперматека с конусовидной воронкой, шейка почти не выражена, атриум небольшой (рис. 1, 5, 6). Перитремальный щит слабо изогнут, его задний конец клювовидный (рис. 1, 7). Только на базитарзусе IV пары ног имеется остроконечная макрота, по размерам слабо выделяющаяся среди остальных щетинок базитарзуса (рис. 1, 8).

Размеры (число без скобок — размер признака исследованного голотипа; числа в скобках — среднеарифметическое значение измерений признака и стандартная ошибка среднего):

Lds 360 ( $345,9 \pm 7,10$ ); Wds 165 ( $173,2 \pm 2,57$ ); Lvas 120 ( $113,0 \pm 2,13$ ); Wwas 85 ( $80,7 \pm 1,74$ ); Lian 30 ( $27,9 \pm 0,70$ ); L tar 90 ( $87,4 \pm 0,64$ ); D1 20 ( $18,9 \pm 0,31$ ); D2 13 ( $12,8 \pm 0,27$ ); D3 15 ( $14,9 \pm 0,02$ ); D4 16 ( $16,9 \pm 0,29$ ); D5 20 ( $19,6 \pm 0,38$ ); D6 10 ( $9,9 \pm 0,01$ ); AL1 13 ( $13,2 \pm 0,03$ ); AL2 18 ( $18,8 \pm 0,54$ ); AL3 20 ( $19,2 \pm 0,31$ ); AL4 23 ( $20,2 \pm 0,40$ ); AL5 20 ( $23,2 \pm 0,11$ ); AM1 22 ( $21,5 \pm 0,54$ ); AM2 19 ( $16,4 \pm 0,46$ ); PL1 24 ( $22,6 \pm 0,35$ ); PL2 20 ( $23,3 \pm 0,24$ ); PL3 20 ( $19,4 \pm 0,28$ ); PM2 25 ( $24,1 \pm 0,35$ ); PM3 39 ( $39,5 \pm 0,08$ ); AS 20 ( $20,4 \pm 0,30$ ); PS 20 ( $20,4 \pm 0,30$ ); PV 28 ( $29,5 \pm 0,73$ ); MCh tar 31 ( $29,4 \pm 0,76$ ).

Самец. Дорсальный хетом подобен хетому самки, но щетинки AS и PS сидят на краях дорсального щита (рис. 2, 1). Вентроанальный щит треугольный, несет 3 пары преанальных щетинок и отчетливые круглые анальные поры, расстояние между которыми несколько меньше, чем расстояние между теками щетинок PrA2 (рис. 2, 2). Сперматодактиль Г-образный (рис. 2, 3). На базитарзусе IV ноги небольшая острая макрота (рис. 2, 4).

Размеры (число без скобок — результат измерения признака у изображенного экземпляра, числа в скобках — среднеарифметическое значение измерений признака и стандартная ошибка среднего для выборки из 4 экземпляров самцов): Lds 256 ( $262,2 \pm 4,64$ ); Wds 144 ( $145,9 \pm 3,73$ ); Lwas 105,6 ( $106,6 \pm 2,25$ ); Wwas 137,6 ( $136,7 \pm 2,75$ ); Lian 26,4 ( $28,9 \pm 1,07$ ); L tar 74,25 ( $75,3 \pm 0,88$ ); D1 14,85 ( $16,3 \pm 0,43$ ); D2 9,9 ( $11,9 \pm 0,54$ ); D3 11,55 ( $12,0 \pm 0,25$ ); D4 14,85 ( $15,0 \pm 0,33$ ); D5 16,5 ( $17,0 \pm 0,25$ ); D6 8,25 ( $8,1 \pm 0,18$ ); AM1 19,8 ( $19,6 \pm 0,46$ ); AM2 13,2 ( $13,7 \pm 0,25$ ); AL1 13,2 ( $12,5 \pm 0,27$ ); AL2 14,85 ( $16,3 \pm 0,46$ ); AL3 16,5 ( $17,3 \pm 0,44$ ); AL4 18,15 ( $20,1 \pm 0,81$ ); AL5 19,8 ( $19,6 \pm 0,39$ ); PL1 19,8 ( $20,7 \pm 0,29$ ); PL2 19,8 ( $20,5 \pm 0,44$ ); PL3 16,5 ( $16,0 \pm 0,48$ ); PM2 23,1 ( $22,0 \pm 0,39$ ); PM3 29,7 ( $29,9 \pm 0,37$ ); AS 16,5 ( $17,3 \pm 0,28$ ); PS 16,5 ( $17,0 \pm 0,25$ ); PV 16,5 ( $17,2 \pm 0,62$ ); Mch tar IV 21,45 ( $22,6 \pm 0,61$ ).

Диагноз. Клещи *An. (M.) victorovi* надежно отличаются от клещей близкого рода *Amblydromella*, которые встречаются в тех же местообитаниях и на тех же видах растений, по основному признаку рода — наличием на вентроанальном щите 3 пар преанальных щетинок (у *Amblydromella* их 4 пары). Род представлен во всех подобластях Палеарктики (известно 9 видов).

Места находок и растения, где были обнаружены клещи, перечислены ниже. Лесостепь:

Ель (*Picea* sp.) (21F 3M 1D), 09.06.92 (Колодочка), ель колючая (5F), ель обыкновенная (13F 2M), лиственница сибирская (*Larix sibirica* Ledeb.) (1F),

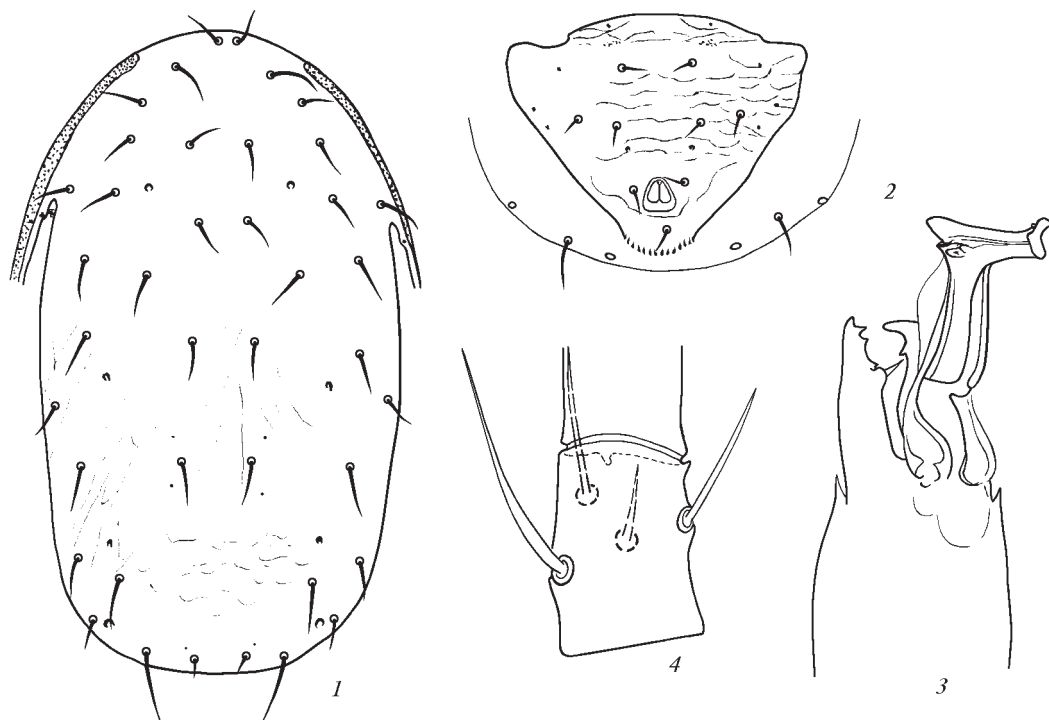


Рис. 2. *Anthoseius (Mumaseius) victorovi*, ♂: 1 — дорсальный щит; 2 — задняя часть вентральной стороны тела; 3 — хелицера; 4 — фрагмент лапки IV ноги.

Fig. 2. *Anthoseius (Mumaseius) victorovi*, ♂: 1 — dorsal shield; 2 — posterior part of ventral body side; 3 — chelicera; 4 — fragment of tarsus IV leg.

лиственница европейская (1F), можжевельник виргинский (*Juniperus virginiana* L.) (3F), пихта Лоуа (*Abies Lowiana* Murr.) (1F), туя западная (1F), 05—08.08.05 (Омери), Краснокутский дендропарк, г. Краснокутск, Харьковская обл.;

ель сибирская (*Picea obovata* Ledeb.) (1F), Национальный дендрологический парк «Софиевка» НАН Украины, г. Умань, Черкасская обл., 02.06.05 (Омери);

ель обыкновенная (2F), можжевельник казацкий (*Juniperus sabina* L.) (1F), Каневский природный заповедник, г. Канев, Черкасская обл., 17—18.09.05 (Омери).

Новгород-Северское Полесье:

Ель (2F), спелый сосновый лес, уч. «Очкинская дача», ДСНПП, окр. с. Кренидовка, Зноб-Новгородский р-н, Сумская обл., 17.09.03 (Колодочка).

Вайнштейн Б. А. Новые виды и подрод рода *Anthoseius* (Parasitiformes, Phytoseiidae) // Зоол. журн. — 1972. — **51**, вып. 10. — С. 1477—1482.

Вайнштейн Б. А. К фауне хищных клещей сем. Phytoseiidae (Parasitiformes) Ярославской обл. // Энтомол. обозрение. — 1975. — **54**, № 4. — С. 914—922.

Колодочка Л. А. Две новые трибы и основные результаты ревизии клещей-фитосейид Палеарктики (Phytoseiidae, Parasitiformes) с концепцией системы семейства // Вестн. зоологии. — 1998. — **32**, № 1—2. — С. 51—63.

Колодочка Л. А. Клещи-фитосейиды Палеарктики (Parasitiformes, Phytoseiidae): фаунистика, систематика, эволюция // Вестн. зоологии. — 2006. — Отд. вып. № 21. — 250 с.